

УДК 539.3:534.222

**А. Я. Бомба\***, д-р техн. наук, професор,

**Ю. В. Турбал\*\***, канд. фіз.-мат. наук

\*Рівненський державний гуманітарний університет, м. Рівне,

\*\*Національний університет водного господарства та природокористування, м. Рівне

## **МАТЕМАТИЧНЕ МОДЕЛЮВАННЯ ПРОЦЕСУ РУХУ СОЛІТОНА В АНІЗОТРОПНОМУ ПРУЖНОМУ ТІЛІ ЗМІННОЇ ГУСТИНИ**

Розглядаються відокремлені хвилі типу  $\delta$ -солітонів в анізотропних пружних матеріалах, що задовольняють узагальненому закону Гука. Досліджується поведінка відокремленої хвилі, яка рухається в напрямку зростання густини. Зокрема, змодельовано процес зменшення амплітуди та виникнення цуга нелінійних відокремлених хвиль.

**Ключові слова:** *анізотропія, рівняння руху, солітон, закон Гука, рівняння в частинних похідних.*

Дослідженню солітонів у твердому тілі останнім часом присвячена значна кількість робіт. У рамках структурно-феноменологічного підходу досліджуються різні моделі, зокрема, пошкоджене середовище з мікроструктурою, континуум Коссера з обмеженим рухом, середовище з деформаціями [5], зернисте середовище, які допускають солітонні розв'язки рівнянь руху. При цьому розглядають, як правило, одновимірний випадок. При вивченні багатовимірних солітонів виникає низка проблем, пов'язаних з складністю систем, які там виникають [5].

У цій роботі досліджується поведінка тривимірного збурення, що має характер відокремленої хвилі типу  $\delta$ -солітона в області змінної густини для анізотропного пружного тіла.

При цьому використовується підхід, запропонований одним з авторів у роботах [1; 2], суть якого полягає в знаходженні відокремлених хвиль деформації у вигляді функцій спеціального виду, для ідентифікації яких використано термін —  $\delta$ -солітон. Аналогічні відокремлені хвилі були знайдені як часткові розв'язки низки лінійних та нелінійних систем диференціальних рівнянь в частинних похідних (рівняння типу мілкої води, КдВ, рівняння газової динаміки гравітуючого газового диску галактик, рівнянь руху для анізотропного пружного тіла).

**1. Загальна постановка задачі.** Розглянемо групу кристалів  $S, C_2, C^h$  [4, с. 171], для яких закон Гука містить 13 вільних коефіцієнтів. Рівняння руху в цьому випадку мають вигляд [1]:

$$\rho \frac{\partial^2 u}{\partial t^2} = ((c_{11}, c_{66}, c_{55}, 2c_{16}, 0, 0), \Theta u) + \quad (3)$$

$$+ ((c_{16}, c_{26}, c_{45}, c_{12} + c_{66}, 0, 0), \Theta v) + ((0, 0, 0, 0, c_{13} + c_{55}, c_{36} + c_{45}), \Theta w),$$

$$\rho \frac{\partial^2 v}{\partial t^2} = ((c_{16}, c_{26}, c_{45}, c_{66} + c_{12}, 0, 0), \Theta u) + \quad (4)$$

$$+ ((c_{66}, c_{22}, c_{44}, 2c_{26}, 0, 0), \Theta v) + ((0, 0, 0, 0, c_{36} + c_{45}, c_{23} + c_{44}), \Theta w),$$

$$\rho \frac{\partial^2 w}{\partial t^2} = ((0, 0, 0, 0, c_{13} + c_{55}, c_{45} + c_{36}), \Theta u) + \quad (5)$$

$$+ ((0, 0, 0, 0, c_{45} + c_{36}, c_{23} + c_{44}), \Theta v) + ((c_{55}, c_{44}, c_{33}, 2c_{45}, 0, 0), \Theta w),$$

де  $u, v, w$  — зміщення вздовж відповідних осей в декартовій системі координат,  $\Theta = \left( \frac{\partial^2}{\partial x^2}, \frac{\partial^2}{\partial y^2}, \frac{\partial^2}{\partial z^2}, \frac{\partial^2}{\partial x \partial y}, \frac{\partial^2}{\partial z \partial x}, \frac{\partial^2}{\partial y \partial z} \right)$ ,  $C = \|c_{ij}\|_{i,j=1,6}$  — матриця пружних сталих,  $\rho(x, y, z)$  — густина.

Будемо знаходити розв'язки системи (3)–(5) у вигляді:

$$\begin{aligned} u(x, y, z, t) &= \psi_u(\rho, t)W(x, y, z, t), \\ v(x, y, z, t) &= \psi_v(\rho, t)W(x, y, z, t), \\ w(x, y, z, t) &= \psi_w(\rho, t)W(x, y, z, t), \\ & \frac{g(x-\tilde{x}(t, \rho))}{\varepsilon_1} \frac{g(y-\tilde{y}(t, \rho))}{\varepsilon_2} \frac{g(z-\tilde{z}(t, \rho))}{\varepsilon_3} \end{aligned} \quad (6)$$

де  $W(x, y, z, t) = e$ ,  $g(\cdot) \in G$  ( $G$  — клас додатньо-визначених, унімодальних, двічі неперервно-диференційованих функцій, які мають мінімум в початку координат, рівний 0 і для яких другі похідні відмінні від констант),  $\psi_u(t, \rho)$ ,  $\psi_v(t, \rho)$ ,  $\psi_w(t, \rho)$  — амплітуди відповідних збурень,  $\varepsilon_1, \varepsilon_2, \varepsilon_3$  — константи, що визначають локалізацію збурень,  $\tilde{x}(t, \rho)$ ,  $\tilde{y}(t, \rho)$ ,  $\tilde{z}(t, \rho)$  — функції, що визначають траєкторію солітонів.

Надалі будемо вважати, що:

$$\begin{aligned} \rho(x, y, z) &= \rho(x), \psi_u = \psi_u(x, t), \psi_v = \psi_v(x, t), \psi_w = \psi_w(x, t), \\ \tilde{x}(\cdot) &= \tilde{x}(t, \rho), \tilde{y}(\cdot) = const, \tilde{z}(\cdot) = const. \end{aligned}$$

**2. Ідентифікація характеристик солітонів.** У результаті підстановки (6) в (3) матимемо:

$$\begin{aligned} & \rho \frac{\partial^2 \psi_u(\rho, t)}{\partial t^2} W(x, y, z, t) + 2\rho \frac{\partial \psi_u(\rho, t)}{\partial t} W(x, y, z, t) G(x, t) + \\ & + \rho \psi_u(\rho, t) W(x, y, z, t) G^2(x, t) + \rho \psi_u(\rho, t) W(x, y, z, t) \left( \frac{g'(x-\tilde{x}(t))}{\varepsilon_1} \tilde{x}''(t) - \right. \end{aligned}$$

$$\begin{aligned}
& -\frac{g''(x-\tilde{x}(t))}{\varepsilon_1} \tilde{x}^{\prime 2}(t) \Big) = c_{11} \left( \frac{\partial \psi_u}{\partial \rho} \frac{\partial \rho}{\partial x} W(x, y, z, t) (\Phi_x(t, x, \rho) - \right. \\
& \quad \left. - \frac{g'(x-\tilde{x}(t, \rho))}{\varepsilon_1} \right) + \psi_u(\rho, t) W(x, y, z, t) \times \\
& \quad \times \left( \Phi_x(t, x, \rho) - \frac{g'(x-\tilde{x}(t, \rho))}{\varepsilon_1} \right)^2 + \\
& \quad + \psi_u(\rho, t) W(x, y, z, t) \left( \frac{\partial \Phi_x(t, x, \rho)}{\partial x} - \frac{g''(x-\tilde{x}(t, \rho))}{\varepsilon_1} \times \right. \\
& \quad \times \left( 1 - \frac{\partial}{\partial \rho} \tilde{x}(t, \rho) \frac{\partial \rho}{\partial x} \right) + \frac{\partial^2 \psi_u}{\partial \rho^2} \left( \frac{\partial \rho}{\partial x} \right)^2 W(x, y, z, t) + \\
& \quad \left. + \frac{\partial \psi_u}{\partial \rho} \frac{\partial^2 \rho}{\partial x^2} W(x, y, z, t) + \right. \\
& \quad \left. + \frac{\partial \psi_u}{\partial \rho} \frac{\partial \rho}{\partial x} W(x, y, z, t) \left( \Phi_x(t, x, \rho) - \frac{g'(x-\tilde{x}(t, \rho))}{\varepsilon_1} \right) \right) + \\
& \quad + c_{66} (\psi_u(\rho, t) W(x, y, z, t) \left( \frac{g'(y-\tilde{y}(t, \rho))}{\varepsilon_2} \right)^2 - \\
& \quad - \psi_u(\rho, t) W(x, y, z, t) \frac{g''(y-\tilde{y}(t, \rho))}{\varepsilon_2} + \\
& \quad + c_{55} (\psi_u(\rho, t) W(x, y, z, t) \left( \frac{g'(z-\tilde{z}(\rho, t))}{\varepsilon_3} \right)^2 - \\
& \quad - \psi_u(\rho, t) W(x, y, z, t) \frac{g''(z-\tilde{z}(\rho, t))}{\varepsilon_3} + \\
& \quad + c_{16} \left( \psi_u(\rho, t) W(x, y, z, t) \left( -\frac{g'(y-\tilde{y}(t, \rho))}{\varepsilon_2} \right) \left( \Phi_x(t, x, y, z, \rho) - \frac{g'(x-\tilde{x}(t, \rho))}{\varepsilon_1} \right) \right) + \\
& \quad + \psi_u(\rho, t) W(x, y, z, t) \left( \frac{\partial \Phi_x(t, x, \rho)}{\partial y} \right) + \frac{\partial \psi_u}{\partial \rho} \frac{\partial \rho}{\partial x} W(x, y, z, t) \left( -\frac{g'(y-\tilde{y}(t, \rho))}{\varepsilon_2} \right) + \\
& \quad + c_{16} \left( \frac{\partial \psi_v}{\partial \rho} \frac{\partial \rho}{\partial x} W(x, y, z, t) (\Phi_x(t, x, \rho) - \frac{g'(x-\tilde{x}(t, \rho))}{\varepsilon_1}) \right) +
\end{aligned}$$

$$\begin{aligned}
 & +\psi_v(\rho,t)W(x,y,z,t)\left(\Phi_x(t,x,\rho)-\frac{g'(x-\tilde{x}(t,\rho))}{\varepsilon_1}\right)^2 + \\
 & +\psi_v(\rho,t)W(x,y,z,t)\left(\frac{\partial\Phi_x(t,x,\rho)}{\partial x}-\frac{g''(x-\tilde{x}(t,\rho))}{\varepsilon_1}\left(1-\frac{\partial}{\partial\rho}\tilde{x}(t,\rho)\frac{\partial\rho}{\partial x}\right)\right) + \\
 & +\frac{\partial^2\psi_v}{\partial\rho^2}\left(\frac{\partial\rho}{\partial x}\right)^2 W(x,y,z,t)+\frac{\partial\psi_v}{\partial\rho}\frac{\partial^2\rho}{\partial x^2}W(x,y,z,t)+ \\
 & +\frac{\partial\psi_v}{\partial\rho}\frac{\partial\rho}{\partial x}W(x,y,z,t)\left(\Phi_x(t,x,\rho)-\frac{g'(x-\tilde{x}(t,\rho))}{\varepsilon_1}\right) + \\
 & +c_{26}(\psi_v(\rho,t)W(x,y,z,t)\left(\frac{g'(y-\tilde{y}(t,\rho))}{\varepsilon_2}\right)^2 + \\
 & +\psi_v(\rho,t)W(x,y,z,t)\left(-\frac{g''(y-\tilde{y}(t,\rho))}{\varepsilon_1}\right) + \\
 & +c_{45}(\psi_v(\rho,t)W(x,y,z,t)\left(\frac{g'(z-\tilde{z}(t,\rho))}{\varepsilon_3}\right)^2 + \\
 & +\psi_v(\rho,t)W(x,y,z,t)\left(-\frac{g''(z-\tilde{z}(t,\rho))}{\varepsilon_3}\right) + \\
 & +(c_{12}+c_{66})(\psi_v(\rho,t)W(x,y,z,t)\left(-\frac{g'(y-\tilde{y}(t,\rho))}{\varepsilon_2}\right)(\Phi_x(t,x,\rho)- \\
 & -\frac{g'(x-\tilde{x}(t,\rho))}{\varepsilon_1}) + \frac{\partial\psi_v}{\partial\rho}\frac{\partial\rho}{\partial x}W(x,y,z,t)\left(-\frac{g'(y-\tilde{y}(t,\rho))}{\varepsilon_2}\right) + \\
 & +(c_{13}+c_{55})(\psi_w(\rho,t)W(x,y,z,t)\left(-\frac{g'(z-\tilde{z}(t))}{\varepsilon_3}\right)(\Phi_x(t,x,\rho)- \\
 & -\frac{g'(x-\tilde{x}(t,\rho))}{\varepsilon_1}) + \frac{\partial\psi_w}{\partial\rho}\frac{\partial\rho}{\partial x}W(x,y,z,t)\left(-\frac{g'(z-\tilde{z}(t))}{\varepsilon_3}\right) + \\
 & +(c_{36}+c_{45})(\psi_w(\rho,t)W(x,y,z,t)\frac{g'(z-\tilde{z}(t))}{\varepsilon_3}\frac{g'(y-\tilde{y}(t,\rho))}{\varepsilon_2}),
 \end{aligned}$$

$$\text{де } \Phi_x(t, x, \rho) = \frac{g'(x - \tilde{x}(t, \rho))}{\varepsilon_1} \frac{\partial}{\partial \rho} \tilde{x}(t, \rho) \frac{\partial \rho}{\partial x}, \quad G(x, t) = \frac{g'(x - \tilde{x}(t))}{\varepsilon_1} \tilde{x}'(t).$$

Прирівнюючи в останньому рівнянні до 0 коефіцієнти, що стоять при виразах

$$\begin{aligned} & \frac{g''(x - \tilde{x}(t))}{\varepsilon_1}, \frac{g''(y - \tilde{y}(t))}{\varepsilon_2}, \frac{g''(z - \tilde{z}(t))}{\varepsilon_3}, \frac{(g'(x - \tilde{x}(t)))^2}{(\varepsilon_1)^2}, \frac{(g'(y - \tilde{y}(t)))^2}{(\varepsilon_2)^2}, \\ & \frac{(g'(z - \tilde{z}(t)))^2}{(\varepsilon_3)^2}, \frac{g'(x - \tilde{x}(t))}{\varepsilon_1} \frac{g'(y - \tilde{y}(t))}{\varepsilon_2}, \frac{g'(x - \tilde{x}(t))}{\varepsilon_1} \frac{g'(z - \tilde{z}(t))}{\varepsilon_3}, \\ & \frac{g'(y - \tilde{y}(t))}{\varepsilon_2} \frac{g'(z - \tilde{z}(t))}{\varepsilon_3}, \frac{g'(x - \tilde{x}(t))}{\varepsilon_1}, \frac{g'(y - \tilde{y}(t))}{\varepsilon_2}, \frac{g'(z - \tilde{z}(t))}{\varepsilon_3}, \end{aligned}$$

(аналогічно як в [1]) отримуємо систему рівнянь:

$$\begin{aligned} \rho \frac{\partial^2 \psi_u}{\partial t^2} &= c_{11} \frac{\partial^2 \psi_u}{\partial x^2} + c_{16} \frac{\partial^2 \psi_v}{\partial x^2}, \\ -\rho \psi_u(\cdot) \tilde{x}'^2(\cdot) &= -c_{11} \psi_u(\cdot) \left(1 - \frac{\partial}{\partial x} \tilde{x}(\cdot)\right)^2 - c_{16} \psi_v(\cdot) \left(1 - \frac{\partial}{\partial x} \tilde{x}(\cdot)\right)^2, \\ 0 &= -c_{66} \psi_u(\cdot) - c_{26} \psi_v(\cdot), \\ 0 &= -c_{55} \psi_u(\cdot) - c_{45} \psi_v(\cdot), \\ 0 &= -(c_{12} + c_{66}) \psi_v(\cdot) \left(\frac{\partial}{\partial x} \tilde{x}(\cdot) - 1\right) + c_{16} \psi_u(\cdot), \\ 0 &= -(c_{13} + c_{55}) \psi_w(\cdot) \left(\frac{\partial}{\partial x} \tilde{x}(\cdot) - 1\right), \\ 0 &= (c_{36} + c_{45}) \psi_w(\cdot), \tag{7} \\ 2\rho \frac{\partial \psi_u(t)}{\partial t} \psi'_u(\cdot) \tilde{x}'(\cdot) + \rho \psi_u(\cdot) \tilde{x}''(\cdot) &= c_{11} \left(2 \frac{\partial \psi_u}{\partial x} \left(\frac{\partial}{\partial x} \tilde{x}(t, \rho) - 1\right) + \psi_u(\cdot) \frac{\partial^2}{\partial x^2} \tilde{x}(\cdot)\right), \\ 0 &= -(c_{12} + c_{66}) \frac{\partial \psi_v}{\partial x}, \\ 0 &= (c_{13} + c_{55}) \left(\frac{\partial \psi_w}{\partial x} (-1)\right) + c_{16} \left(-2 \frac{\partial \psi_v}{\partial x} \left(\frac{\partial}{\partial x} \tilde{x}(\cdot) - 1\right) + \psi_v(\cdot) \frac{\partial^2}{\partial x^2} \tilde{x}(\cdot)\right). \end{aligned}$$

Аналогічно для (4) та (5):

$$\rho \frac{\partial^2 \psi_v}{\partial t^2} = c_{66} \frac{\partial^2 \psi_v}{\partial x^2},$$

$$\begin{aligned}
 & -\rho\psi_v(\cdot)\tilde{x}'^2(\cdot) = -c_{66}\psi_v(\cdot)\left(1 - \frac{\partial}{\partial x}\tilde{x}(\cdot)\right)^2, \\
 & 0 = -c_{22}\psi_v(\cdot) - c_{26}\psi_u(\cdot), \\
 & 0 = -c_{44}\psi_v(\cdot) - c_{45}\psi_u(\cdot), \\
 & 0 = 2c_{26}\psi_v(\cdot) + (c_{12} + c_{66})\psi_u(\rho, t), \\
 & 0 = (c_{36} + c_{45})\psi_w(\cdot), \\
 & 0 = (c_{23} + c_{44})\psi_w(\cdot), \\
 & 2\rho\psi'_v(t)\tilde{x}'(t) + \rho\psi_v(t)\tilde{x}''(t) = \\
 & = c_{66}\left(2\frac{\partial\psi_v}{\partial x}\left(\frac{\partial}{\partial x}\tilde{x}(t, \rho) - 1\right) + \psi_v(\cdot)\frac{\partial^2}{\partial x^2}\tilde{x}(\cdot)\right) \\
 & 0 = -2c_{26}\frac{\partial\psi_v}{\partial x} - (c_{12} + c_{66})\frac{\partial\psi_u}{\partial x} - (c_{23} + c_{44})\frac{\partial\psi_w}{\partial x}, \\
 & 0 = -(c_{36} + c_{45})\frac{\partial\psi_w}{\partial x}; \\
 & \rho\frac{\partial^2\psi_w}{\partial t^2} = c_{55}\frac{\partial^2\psi_w}{\partial x^2}, \\
 & -\rho\psi_w(\cdot)\tilde{x}'^2(\cdot) = -c_{55}\psi_w(\cdot)\left(1 - \frac{\partial}{\partial x}\tilde{x}(\cdot)\right)^2, \\
 & 0 = -c_{44}\psi_w(\cdot), \\
 & 0 = c_{33}\psi_w(\cdot), \\
 & 0 = -2c_{45}\psi_w(\cdot)\left(\frac{\partial}{\partial x}\tilde{x}(\cdot) - 1\right), \\
 & 0 = (c_{36} + c_{45})\psi_u(\cdot) + (c_{23} + c_{44})\psi_v(\cdot), \\
 & 2\rho\psi'_w(\cdot)\tilde{x}'(\cdot) + \rho\psi_w(\cdot)\tilde{x}''(\cdot) = c_{55}\left(2\frac{\partial\psi_w}{\partial x}\left(\frac{\partial}{\partial x}\tilde{x}(\cdot) - 1\right) + \right. \\
 & \left. + \psi_w(\cdot)\frac{\partial^2\tilde{x}(\cdot)}{\partial x^2}\right) + c_{15}\left(2\frac{\partial\psi_u}{\partial x}\left(\frac{\partial}{\partial x}\tilde{x}(\cdot) - 1\right) + \psi_u(\cdot)\frac{\partial^2\tilde{x}(\cdot)}{\partial x^2}\right), \\
 & 0 = -2c_{45}\frac{\partial\psi_w}{\partial x}, \\
 & 0 = -(c_{13} + c_{55})\frac{\partial\psi_u}{\partial x} - (c_{45} + c_{36})\frac{\partial\psi_v}{\partial x}.
 \end{aligned} \tag{8}$$

Зокрема, у випадку  $\psi_w = 0, \psi_v = 0, \psi_u(\cdot) \neq 0$  з системи (7)–(9) отримуємо:

$$c_{66} = c_{55} = c_{16} = c_{26} = c_{45} = 0, c_{12} = c_{13} = c_{36} = 0,$$

$$\begin{aligned} \rho \frac{\partial^2 \psi_u}{\partial t^2} &= c_{11} \frac{\partial^2 \psi_u}{\partial x^2}, \\ -\rho \psi_u(\cdot) \left( \frac{\partial \tilde{x}(\cdot)}{\partial t} \right)^2 &= -c_{11} \psi_u(\cdot) \left( 1 - \frac{\partial}{\partial x} \tilde{x}(\cdot) \right)^2, \\ 2\rho \frac{\partial \psi_u(\cdot)}{\partial t} \frac{\partial \tilde{x}(\cdot)}{\partial t} + \rho \psi_u(\cdot) \frac{\partial^2 \tilde{x}(\cdot)}{\partial t^2} &= \\ = c_{11} \left( 2 \frac{\partial \psi_u}{\partial x} \left( \frac{\partial}{\partial x} \tilde{x}(t, \rho) - 1 \right) + \psi_u(\cdot) \frac{\partial^2}{\partial x^2} \tilde{x}(\cdot) \right). \end{aligned} \quad (10)$$

Звідси:

$$\begin{aligned} \rho \frac{\partial^2 \psi_u(t, x)}{\partial t^2} &= c_{11} \frac{\partial^2 \psi_u(t, x)}{\partial x^2}, \\ \frac{\partial \tilde{x}(t, x)}{\partial t} &= \chi (c_{11} / \rho)^{1/2} \left( 1 - \frac{\partial}{\partial x} \tilde{x}(t, x) \right), \\ 2\rho \frac{\partial \psi_u(t, x)}{\partial t} \frac{\partial \tilde{x}(t, x)}{\partial t} + \rho \psi_u(t, x) \frac{\partial^2 \tilde{x}(t, x)}{\partial t^2} &= \\ = c_{11} \left( 2 \frac{\partial \psi_u(t, x)}{\partial x} \left( \frac{\partial}{\partial x} \tilde{x}(t, x) - 1 \right) + \psi_u(t, x) \frac{\partial^2}{\partial x^2} \tilde{x}(t, x) \right), \end{aligned} \quad (11)$$

де  $\chi = \pm 1$ , або:

$$\begin{aligned} \frac{\partial \tilde{x}(t, x)}{\partial t} &= \chi (c_{11} / \rho)^{1/2} \left( 1 - \frac{\partial \tilde{x}(t, x)}{\partial x} \right), \\ \frac{\partial \psi_u(t, x)}{\partial t} &= -\chi (c_{11})^{1/2} \psi_u(t, x) \frac{1}{4} \rho^{-3/2} \rho' - \chi (c_{11})^{1/2} \rho^{-1/2} \frac{\partial \psi_u(t, x)}{\partial x}, \\ 4\rho'' - 5\rho^{-1}(\rho')^2 &= 0. \end{aligned} \quad (12)$$

Загальні розв'язки рівнянь системи (12) мають вигляд:

$$\begin{aligned} \rho(x) &= \frac{1}{(cx + a)^4}, \tilde{x}(t, x) = t + \Phi \left( x + \frac{\chi}{(c_{11})^{1/2} c (cx + a)} \right), \\ \psi_u(t, x) &= (cx + a) \mathbf{H} \left( t + \frac{1}{\chi (c_{11})^{1/2} c} \right), \end{aligned}$$

де  $\Phi, \mathbf{H}$  — довільні функції,  $c, a$  — сталі інтегрування.

**3. Приклад моделювання  $\delta$ -солітона.** Для того, щоб проілюструвати поведінку солітона, розв'яжемо систему (12) для випадку  $c_{11} = 1$ ,  $\rho(x) = \frac{10}{(x-6)^4}$ ,  $\chi = 1$ ,  $g(x) = x^2$  та при наступних крайових умовах:  $\tilde{x}(0, x) = 0.1$ ,  $\tilde{x}(t, 0) = 0.1$ ,  $\psi_u(0, x) = 0.5$ ,  $\psi_u(t, 0) = 0.5$ .

Наближені розв'язки рівнянь (12) будемо знаходити в системі Mathcad 14.0.0.163. Графіки  $u(x, \tilde{y}, \tilde{z}, t)$  наведені на рис. 1–3.

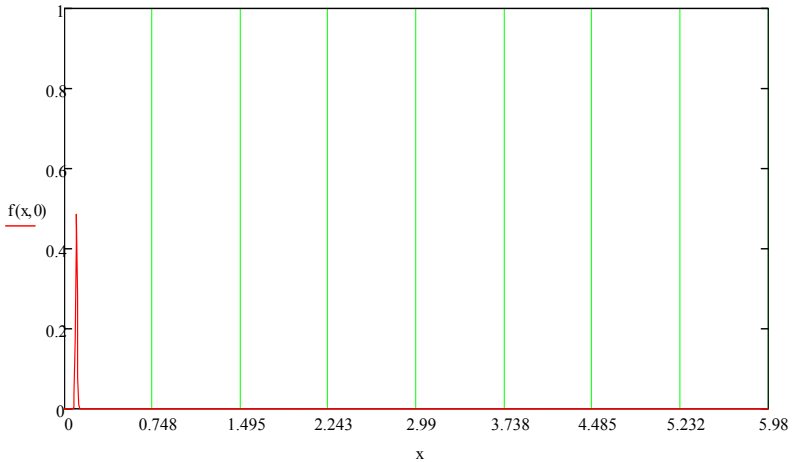


Рис. 1.

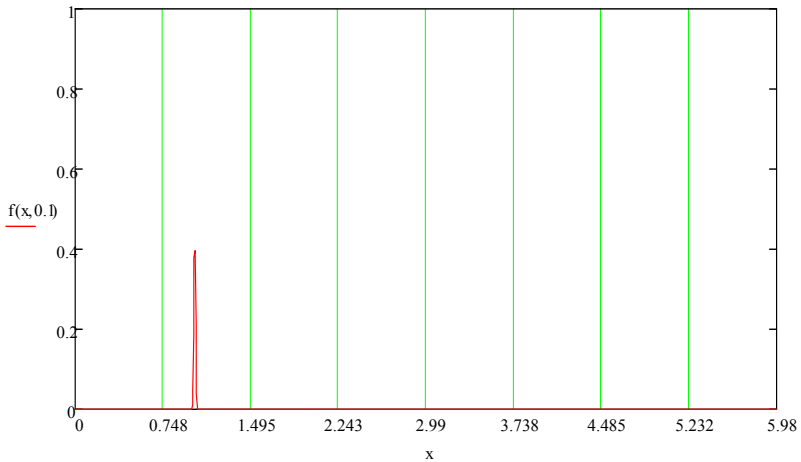


Рис. 2.



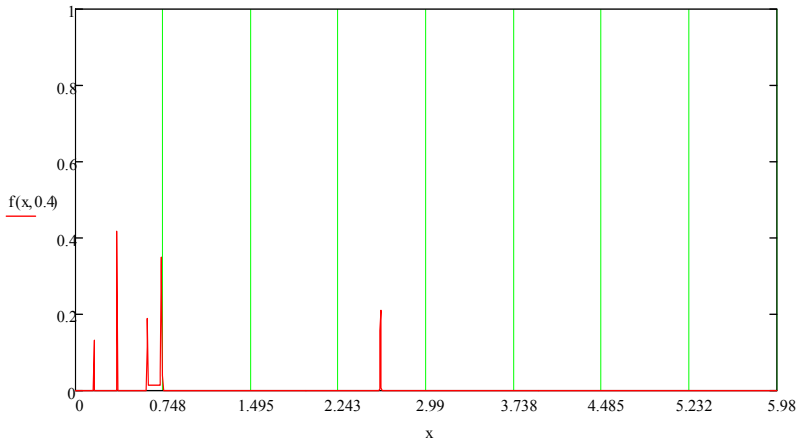


Рис. 3.

**Висновки.** У статті показано існування локалізованих структурно-стійких хвиль деформації для анізотропного пружного тіла у випадку нелінійного закону зміни густини. Як підтверджують розрахунки, в даному випадку відокремлена хвиля рухається в напрямку області зростання густини, при цьому спостерігається зменшення амплітуди. Після досягнення хвилею певної величини густини, спостерігались нелінійні ефекти виникнення нових збурень в області, яку пройшла початкова відокремлена хвиля (рис. 3).

Зауважимо, що обмеження, які виникли в процесі дослідження, зокрема, рівняння для густини, рівність нулю низки пружних сталей, пов'язані з специфікою самого підходу до знаходження розв'язків і не означають, що для інших випадків анізотропії та законів зміни густини відокремлених локалізованих хвиль солітонного типу не існує.

#### Список використаних джерел:

1. Турбал Ю. В. О необходимых и достаточных условиях существования решений уравнений движения для анизотропных упругих тел в виде уединенных волн типа  $\delta$ -солитонов / Ю. В. Турбал // Проблемы прикладной математики и математического моделирования. — 2012. — С. 78–86.
2. Турбал Ю. В. Дослідження анізотропії пружних властивостей матеріалів з точки зору існування відокремлених хвиль типу  $\delta$ -солітонів / Ю. В. Турбал // Проблеми обчислювальної механіки і міцності конструкцій. — 2012. — Вип. 18. — С. 76–90.
3. Polyanin A. D. Handbook of First Order Partial Differential Equations / A. D. Polyanin, V. F. Zaitsev, A. Moussiaux. — London : Taylor&Francis, 2002.
4. Ляв А. Математическая теория упругости / А. Ляв. — М. ; Л. : ОНТИ, 1935. — 675 с.

5. Ерофеев В. И. Волновые процессы в твердых телах с микроструктурой / В. И. Ерофеев. — М. : Издательство Московского университета, 1999. — 328 с.

In this paper we consider the existence of separate waves like  $\delta$ -soliton in anisotropic elastic materials which satisfy the generalized Hooke's law. We study the behavior of a solitary wave that moves in the direction of the field density increase. In particular, the process of amplitude reducing and the emergence of Zug nonlinear solitary waves are simulated.

**Key words:** *anisotropy, crystal system, the motion equations, solitary wave, Hooke's law.*

Отримано: 25.10.2013

УДК 681.3.057:518.12:621.314.6:537:312.62

**А. А. Верлань**, канд. техн. наук

Национальный технический университет Украины «КПИ», г. Киев.

### **ОБ ОРГАНИЗАЦИИ СТРУКТУРЫ ИСТОЧНИКОВ ЭЛЕКТРОПИТАНИЯ С ЗАЩИТОЙ И АВТОМАТИЗИРОВАННОЙ СИСТЕМОЙ КОНТРОЛЯ**

Рассмотрены актуальные вопросы организации структуры источников электропитания (ВДЕЖ) постоянного напряжения с защитой и автоматизированной системой контроля (АСК), предложено одна из возможных структурных схем источника вторичного электропитания с самоконтролем, рассмотрено состав и функциональное назначения блоков схемы.

**Ключевые слова:** *автоматизированные системы контроля, вторичного источника электропитания.*

**Введение.** Традиционные устройства защиты вторичных источников электропитания ВИЭП [1] из-за подверженности скрытым дефектам, не обнаруживающихся при нормальной работе ВИЭП, но приводящих фактически к самоотключению защиты, в ряде случаев препятствуют обеспечению требуемой надежности аппаратуры. Последнее обуславливает актуальность разработки методов и средств приборной реализации автоматического контроля радиоэлектронной аппаратуры (РЭА) [2], с помощью которого появляется возможность контролировать как исправность, так и параметры защитных устройств, — непрерывно или один раз за цикл работы, например, в его начале [3].